

بررسی سنگنگاری، سنگشناسی و ژئوشیمی سنگهای پلوتونیک منطقه خاور

هریس، آذربایجان خاوری – شمال باخته ایران

نوشته: دکتر علی عامری^{*}، ناصر اشرفی^{*} و حسین کریمی قره بابا^{*}

Petrological, petrographical and geochemical Study of the plutonic rocks from East of Heris, East Azarbaijan, NW Iran

By: Dr. A. Ameri*, N. Ashrafi* & H. Karimi Gharebaba *

چکیده

منطقه مورد مطالعه در شمال باخته ایران و در حدود ۲۰ کیلومتری خاور شهرستان هریس واقع شده و بخشی از زون البرز- آذربایجان است. سنگهای پلوتونیک منطقه مورد مطالعه، دیوریت، گرانودیوریت، دیوریت کوارتزدار و مونزودیوریت کوارتزدار با سن ائوسن میانی - بالایی است که در سنگهای آتشفسانی ائوسن نفوذ کرده‌اند و سیالهای ماغماتی و گرمابی حاصل از این توده‌ها باعث دگرسانی خود توده و سنگهای آتشفسانی اطراف شده است. بافت این گرانیتوییدها دانه‌ای و ریزدانه پورفیری بوده و کانیهای سنگ شامل پلاژیوکلاز، فلدسپار قلایی، کوارتز، اوژیت، هورنبلند، زیرکن و آپاتیت است. بررسیهای سنگنگاری نشانگر وجود بافت‌های ناتعادلی مانند آپاتیتهای سوزنی، هورنبلندهای اسکلتی و پلاژیوکلازهای با زون‌بندی غیر عادی در این سنگهاست که می‌توانند به عنوان شواهد آمیختگی ماغماتی اسید و بازی باشند. بر اساس بررسیهای صحرابی، سنگشناسی و ژئوشیمیایی گرانیتوییدهای منطقه از نوع I می‌باشد. این سنگها کلسیمی قلایی بر پتاسم و متالومینوس بوده و به کمانهای قاره‌ای یا کمانهای پس از برخورد تعلق دارند.

کلید واژه‌ها: هریس، گرانیتویید، آمیختگی ماغماتی، کمان پس از برخورد

Abstract

The study area, a part of Alborz-Azarbaijan zone, is located in about 20 km east of Heris district, NW Iran. The plutonic rocks are diorite, granodiorite, quartzdiorite and quartz-monzdiorite of the Middle-Upper Eocene, intruded into the Eocene volcanic rocks. Magmatic and hydrothermal fluids derived from the magma altered both plutonic and volcanic rocks. The texture of granitoid rocks are granular, porphyritic nicto granular and the rock - forming minerals are plagioclase, alkali feldspar, quartz, augite, hornblende, zircon and apatite. Petrographical studies show that nonequilibrium textures such as acicular apatites, skeletal hornblendes and abnormal zoning in plagioclases can be regarded as an evidence of mixing of an acid and basic magma. Field, petrological and geochemical investigations show that the granitoids are I-type, high K, calc alkaline, meta-aluminous and belonge to continental arc or post collision arc.

Keywords: Heris, Granitoid, Magma mixing, Post collision arc

مقدمه

مطالعه به ترتیب در زون ایران مرکزی، زون البرز، زون البرز- آذربایجان و زون گودال خزر جنوبی واقع شده است. زون البرز- آذربایجان از زونهای پویا از لحاظ ماغماتیسم، بویژه در طول دوران سنوزوییک است. در این دوران، ماغماتیسم عظیمی رخ داده که اوج این فعالیت در ائوسن و اولیگوسن بوده است. در این مقاله به ویژگیهای صحرابی، سنگنگاری، سنگشناسی و ژئوشیمی بخشی از این پلوتونیسم در شمال باخته ایران

منطقه مورد مطالعه به طولهای جغرافیایی $13^{\circ} 47'$ و $17^{\circ} 47'$ خاوری و عرضهای جغرافیایی $38^{\circ} 14'$ و $38^{\circ} 11'$ شمالی محدود بوده (شکل ۱) و در استان آذربایجان خاوری قرار گرفته است. از سال ۱۹۶۸ زون‌بندیهای زیادی توسط افراد مختلف برای پوسته ایران ارائه شده که در این مورد می‌توان کارهای (1977) Stampfli (1978)، Stocklin (1978) و (1355) نبوی (1977) را نام برد. براساس این رده‌بندیها، محدوده مورد

آتشفشنانی اثوسن نفوذ کرده‌اند در نقاط زیادی از آذربایجان و حوالی منطقه مورد مطالعه گزارش شده است، با این تفاوت که سن آنها اویلگومیوسن است (طلایی، ۱۳۷۶؛ عیوض خانی، ۱۳۷۶؛ توحدی، ۱۳۷۹؛ زمانی، ۱۳۷۹ و سفیدی، ۱۳۸۱).

یکی از ویژگیهای سنجگهای آذرین منطقه (به جز آتشفشنانیهای جوان) تأثیرات دگرسانی گرمایی در آنهاست. سنجگهای مورد مطالعه توسط شکستگیها و دره‌های گسلی متعددی بریده شده و از طرفی فاز سیال مگمایی نیز، رگهای سیلیسی، زونهای خرد شده و شبکه استوک ورکی را در این سنجگها به وجود آورده است که در سراسر محدوده مورد مطالعه نمود دارند. آهنگ فرسایش در سنجگهای پلتوتوبیک گرانودیبوریتی تسبیت به انواع دیبوریتی بیشتر است. در بیشتر سنجگهای مورد مطالعه، آنکلاوها و قطعات مافیکی دیده می‌شود (شکل ۳)، که در بحث آمیختگی مگمایی، این آنکلاوها را به عنوان قطره‌های مگمای مافیک در مذاب فلیسیک در زمان آمیختگی دو مگما در نظر می‌گیرند (Dorais et al., 1990).

نامگذاری و رده‌بندی

برای نامگذاری سنجگهای پلتوتوبیک از نمودارهای مناسبی که توسط محققان مختلف بدین منظور ارائه شده، استفاده گردید. برخی از این نمودارها بر مبنای کانی شناسی مودال طراحی شده و مبتنی بر درصد حجمی کانیهای اصلی تشکیل دهنده سنجگهای آذرین مانند کوارتز، فلدسپار قلایی و پلازیوکلاز است، مانند نمودار (Streckeisen 1976). براین اساس سنجگهای پلتوتوبیک و نیمه عمیق در حد دیبوریت، مونزودیبوریت کوارتزدار و گرانودیبوریت هستند (شکل ۴، جدول ۱). سنجگهای گرانیتوییدی منطقه براساس نمودار مثلثی آنورتیت-آلیت-ارتوكلاز (O'connor, 1965) که یک نوع رده‌بندی براساس کانیهای نورم است، به طور عمده از نوع گرانودیبوریت هستند (شکل ۵). کانیهای نورم به روش CIPW و با استفاده از نرم افزارهای Newpet و Minpet تعیین شده است. از رده‌بندی شیمیایی (جدول ۱) نیز برای نامگذاری سنجگهای پلتوتوبیک استفاده شد. این رده‌بندیها اغلب بر مبنای اکسیدهای عاشر اصلی مانند SiO_2 , K_2O و Na_2O استوار هستند، نمودارهای TAS از این نوعند. سنجگهای پلتوتوبیک منطقه در نمودار Middlemost (1994) بیشتر در محدوده دیبوریت و گرانودیبوریت قرار می‌گیرند (شکل ۶).

سنگ‌نگاری

چنانچه در بخش نامگذاری و رده‌بندی سنجگهای پلتوتوبیک و نیمه عمیق ذکر شد، این سنجگها به طور کلی به دیبوریتها، سنجگهای حد واسط

پرداخته شده و در این بین توجه ویژه‌ای به تحولات مگمایی و خاستگاه زمین ساختی مگمایی آن شده است.

در این مطالعه، با استفاده از عکسهای هوایی ۱:۲۰۰۰۰، نقشه‌های زمین شناسی ۱:۲۵۰۰۰ و ۱:۱۰۰۰۰ اهر، و با استفاده از نتایج حاصل از پیمایش‌های صحرایی و مطالعات سنجنگاری نقشه زمین شناسی منطقه مورد مطالعه تهیه گردید (شکل ۲). از بین نمونه‌های سنگی برداشت شده، ۶۰ عدد مقطع نازک تهیه و ۱۶ نمونه برای تجزیه XRD و XRF انتخاب و به شرکت کانساران بینالود فرستاده شد.

مطالعات صحرایی

سنگ‌شناختی کلی محدوده مورد مطالعه عبارت است از سنجگهای آتشفشنانی و آذرآواری اثوسن، سنجگهای پلتوتوبیک و نیمه عمیق اثوسن میانی - بالایی و به طور محدودتر سنجگهای جوان دوره کوارترنی. سنجگهای پلتوتوبیک منطقه به طور کلی به دیبوریتها و سنجگهای حد واسط کوارتزدار و گرانودیبوریت تقسیم می‌شود (شکل ۲). سنجگهای دیبوریتی بیشتر در ضلع خاوری محدوده مورد مطالعه و جنوب خاوری روستای اینچه کندي بروونزد دارند. این سنجگها به رنگ خاکستری تیره بوده و کانیهای پلازیوکلاز و مافیک آنها در نمونه‌های دستی کاملاً مشخص هستند و از نظر توپوگرافی نسبت به سنجگهای گرانودیبوریتی و کوارتزدار بیشتر در پایین تری یافت می‌شوند. سنجگهای گرانودیبوریتی و کوارتزدار در ارتفاع قسمتهای بالایی دیبوریتها و بیشتر در بخش باختری منطقه رخمنون دارند. این سنجگها در برخی نقاط با نشان دادن بافت پورفیری و ریزدانه به طور نیمه آتشفشنانی نیز ظاهر شده‌اند و در مقایسه با سنجگهای دیبوریتی رنگ روشنی داشته و کانیهای سازنده آنها اغلب با چشم نامسلح قابل مشاهده است. سنجگهای پلتوتوبیک، که مربوط به فعالیتهای مگمایی اثوسن-اویلگوسن آذربایجان است و به طور عمده ترکیبی در حد دیبوریت، مونزودیبوریت کوارتزدار و گرانودیبوریت دارند، روند تقریباً E-W داشته و در منطقه به صورت بلندیهای کم شب دیده می‌شوند. سنجگهای پلتوتوبیک در دو منطقه مجزا بروونزد داشته و در فاصله بین این دو به دلیل پوشش خاکی - گیاهی و نیز پوشیدگی توسط سنجگهای آتشفشنانی و آذرآواری اثوسن ارتباطی بین این دو رخمنون مشاهده نمی‌شود ولی به دلیل شباهت سنگ شناختی هر دو بروونزد، در اعماق به یک مگمای واحد وابسته‌اند. با توجه به علائمی مانند وجود آپوفیزها، دایکهایی از سنجگهای گرانیتوییدی در آتشفشنانیهای اثوسن و ایجاد دگرسانی گرمایی در آنها می‌توان گفت که سنجگهای پلتوتوبیک اثوسن میانی - بالایی ذکر شده در آتشفشنانیهای محدوده مورد مطالعه نفوذ کرده و آنها را تحت تأثیر قرار داده است (دگرسانی گرمایی). نظیر چنین توده‌های گرانیتوییدی که در مجموعه

فلدسپار قلیایی: فراوانی این کانی در سنگ‌های پلوتونیک در مقایسه با پلازیوکلازها چندان بالا نبوده و بیشتر در سنگ‌های گرانودیوریتی و تا اندازه‌ای در کوارتز مونزودیوریتها دیده می‌شود. بلورهای فلدسپار قلیایی بیشتر به صورت بی‌شکل و به ندرت نیمه شکل دار ظاهر شده و در بعضی مواقع دارای ماقله کارلسپاد است. سریست و کانیهای رسی عمدۀ کانیهایی هستند که در اثر دگرسانی گرمابی جایگزین فلدسپارهای قلیایی شده‌اند.

پیروکسنها: فراوان‌ترین کانیهای مافیک در سنگ‌های پلوتونیک هستند. این کانی در سنگ‌های دیوریتی فراوان‌تر است. کلینوپیروکسن از نوع اوژیت و اغلب درشت بلور و شکل دار تا نیمه شکل دار می‌باشد که این امر بیانگر بلور زودتر این کانیها نسبت به بلورهای فلدسپار است. بر پایه نمودارهای فازی تجربی، هرگاه در زمان تبلور پلازیوکلازها و پیروکسنها میزان فشار بخار آب حلشده در مذابهای سیلیکاتی اولیه بالا باشد، نقطه ذوب پلازیوکلازها پایین آمده (Philpotts, 1991) و در این حالت، احتمالاً بلورهای کلینوپیروکسن اولین فاز جامدی هستند که از مایع لیکویدوس متبلور می‌شوند. عملکرد دگرسانی گرمابی منجر به تجزیه کلینوپیروکسنها به کلریت، اکسیدهای آهن و به مقدار اندک به اپیدوت، کلسیت و سیلیس گردیده است.

آمفیبولوها: آمفیبولهای موجود از نوع هورنبلند بوده و به همراه بیوتیها، کانیهای آبدار این سنگها را تشکیل می‌دهند. بیشتر بلورهای هورنبلند شکل دار تا نیمه شکل دار بوده اما در تعدادی از نمونه‌ها، به صورت بافت اسکلتی نیز دیده می‌شوند. پیدایش بافت‌های اسکلتی، دندانه‌ای و اسپرولیتی (بافت‌های ناتعادلی) را به حاکم بودن شرایط ناپایدار و نامتعادل در هنگام تبلور مagma نسبت می‌دهند (Shelley, 1993). هر چند سرعت بالای سردشدنگی در سنگ‌های آشفشانی و نیمه عمیق امری متناول است، اما به اعتقاد افرادی مانند (Vernon et al., 1990) و Sutcliffe et al. (1990) در برخی یک مagma مافیک با magma فلسیک برخورد کند، سرعت سرد شدنگی به طور ناگهانی افزایش یافته و بافت‌های مذکور ظاهر می‌شوند. هورنبلند تحت تأثیر دگرسانی گرمابی قرار گرفته و به کلریت، کلسیت و اپیدوت تجزیه شده و اکسیدهای آهن آزاد کرده است.

بیوتیها: بیوتیها اغلب نیمه شکل دار تا بی‌شکل هستند به رنگ قهوه‌ای تیره و مانند دیگر کانیها، فرایندهای دگرسانی گرمابی را متحمل شده و بیشتر به کلریت و اکسیدهای آهن تجزیه شده‌اند و در این کانیها میانبارهای زیرکن دیده می‌شوند.

کوارتز: حضور این کانی در سنگ‌های کوارتزدار، بیوژه گرانودیوریتها به صورت بی‌شکل و پرکننده فضای بین دانه‌ها کاملاً نمایان است.

کوارتزدار و گرانودیوریتی قابل تقسیم هستند. سنگ‌های دیوریتی اغلب به رنگ خاکستری تیره بوده و کانیهای پلازیوکلاز و مافیک آنها در نمونه‌های دستی کاملاً مشخص هستند. سنگ‌های گرانودیوریتی و کوارتزدار در مقایسه با سنگ‌های دیوریتی رنگ روشنی داشته و کانیهای سازنده آنها اغلب با چشم نامسلح قابل مشاهده است. بافت عمومی سنگ‌های پلوتونیک دانه‌ای بوده و سنگ‌های نیمه عمیق بافت ریزدانه پورفیری نیز نشان می‌دهند. به طور کلی، در این سنگ‌ها کانیهای زیر مشاهده می‌شود: پلازیوکلاز، پیروکسن، آمفیبول، بیوتیت، فلدسپار قلیایی، کوارتز، زیرکن، آپاتیت، کانیهای کدر و کانیهای ثانویه. در مطالعه سنگ‌نگاری این سنگ‌ها، در کنار بررسی کانی شناسی و بافت، به یک سری مفاهیم سنگ‌شناسی که میان سری فرایندهای magma دخیل در پیدایش سنگ‌های مذکور هستند، نیز اشاره شده است تا بحث سنگ‌نگاری از قالب توصیفی خارج شده و ماهیت سنگ‌شناسی (سنگ زایی) پیدا کند.

پلازیوکلاز: پلازیوکلاز جزء اصلی ترین سازنده‌گان سنگ‌نگاری پلوتونیک به شمار می‌آیند. براساس زاویه خاموشی، نوع آن اولیگوکلاز-آندرزین و بر اساس نورم CIPW نوع آنها آندزین تعیین گردیده است. این کانیها اغلب نیمه شکلدار تا شکلدار بوده و بیشتر دارای دوقلوی آلیتی و توأم آلیتی-کارلسپاد هستند. تأثیر فرایندهای دگرسانی گرمابی موجب ظهور کانیهای ثانویه مانند سریست، کلسیت، کانیهای رسی و اپیدوت در برخی پلازیوکلازها گردیده است. در برخی نمونه‌ها، کانی فلدسپار قلیایی به صورت هاله‌های احاطه کننده در پیرامون پلازیوکلازها رشد کرده و تشکیل بافت آنتی‌رپاکیوی (بافت مونزونیتی) را داده‌اند. این بافت به عنوان یکی از علائم آمیختگی magma به شمار می‌رود و در سنگ‌های کوارتز مونزونیت و گرانودیوریت و گرانودیوریتی منطقه دیده می‌شود (شکل ۷الف). در کنار پدیده‌های زون بندی عادی، زون بندی غیرعادی (نوسانی و یا معکوس) در بیشتر نمونه‌ها، به ویژه سنگ‌های کوارتز مونزونیت و گرانودیوریت بسیار مشهود است. بدین صورت که در برخی بلورهای زونه، بخش‌های داخلی و میانی به خاطر کلسیمی تر بودن دگرسان شده (زون بندی عادی و نوسانی) و در برخی، بخش‌های خارجی تر دچار دگرسانی شده و به کانیهای رسی و سریست تبدیل گشته است (احتمالاً زون بندی معکوس)، از لحاظ زاویه خاموشی نیز در برخی بلورها زاویه خاموشی از مرکز به اطراف بتدريج تغیير می‌کند (زون بندی عادی یا معکوس) و در برخی دیگر زونهای جداگانه، زوایای خاموشی یکسان دارند (زون بندی نوسانی) (شکل ۷ب). بروز چنین ویژگیهای در کانیها، نشان دهنده رخداد تغییرات ترکیبی ناگهانی در زمان تبلور این کانیها بوده و خود مستلزم تغییرات ناگهانی در شرایط دینامیکی تبلور است (Shelley, 1993).

عناصری است که اساساً در پوسته قاره‌ای به فراوانی یافت می‌شود. از این رو تعیین میزان این عنصر در پلوتون گرانیت‌بیدی منطقه می‌تواند در تعیین خاستگاه و منشاء آتها و میزان دخالت پوسته قاره‌ای در تشکیل این سنگها مؤثر باشد. برای این منظور از نمودار Maniar & Piccoli (1989) براساس ضرب Shand استوار است، استفاده گردید. در این نمودار سنگ‌های منطقه جزو سنگ‌های متا آلومینوس به شمار می‌آیند (شکل ۱۱ف) لازم به یادآوری است که زونهای فروزانش حاشیه قاره‌ها و جزایر کمانی، محیط مناسبی برای کسب این ویژگی است. سنگ‌های گرانیت‌بیدی توسط محققان Chappel & White (1982) و معتمدی چون (1974) به تیهای مختلف مانند A, I, M و S تقسیم شده است. سنگ‌های گرانیت‌بیدی منطقه مورد مطالعه با توجه به ویژگیهای مانند دارا بودن هورنبلند و اوژیت، ویژگی متا آلومینوس، همراهی با توده‌های دیوریتی، واقع شدن در یک نوار کوهزایی، عدم وجود سنگ‌های دگرگونی گرمابی درجه بالا، فراوانی آنکلاوهای مافیک ریزدانه و میزان پایین کرونلدم نورماتیو، جزو تیپ I هستند. براساس رده‌بندی Barbarin (1999) گرانیت‌بیدهای منطقه از نوع ACG (گرانیت‌بیدهای کلسیمی - قلایی آمفیبولدار) و KCG (گرانیت‌بیدهای کلسیمی - قلایی پاتاسیم بالا) است.

توزیع عناصر کمیاب ناسازگار

یکی از شواهد با ارزش در روشن ساختن مسائل سنگ زایی سنگ‌های پلوتونیک، بهره‌گیری از چگونگی توزیع و پراکندگی عناصر ناسازگار و کمیاب در آنهاست که برای این منظور از نمودارهای عنکبوتی (Spider diagrams) استفاده شده است. برای سنگ‌های گرانیت‌بیدی منطقه از نمودار عنکبوتی که به گرانیتهای پشته اقیانوسی (ORG) بهنجارسازی شده است، به‌منظور تعیین میزان تهی شدگی و غنی شدگی عناصر مختلف و انتباط با الگوهای پیشنهادی Pearce et al. (1984) که برای موقعیتهای مختلف زمین ساختی ارائه شده استفاده شد. چنان که از شکل ۱۲ پیداست، نمونه معرف منطقه مورد مطالعه، که در این نمودارها با عنوان گرانیت‌بید هریس معرفی شده، غنی شدگی مشخصی در عناصری مانند K, Rb, Ba, Th, Ce, Zr, Y, Nb نسبت به ORG مشخصی در عناصری چون Ce, Zr, Y و Ce در این سنگها و غنی می‌دهد. تهی شدگی مشخص از عناصر Y, Zr و Ce در این سنگها و غنی شدگی از Rb یکی از شاخصهای اصلی گرانیتهای برخورده و پس از برخورد بوده (Pearce et al., 1984) و نشانگر این است که توده‌های مذکور در پوسته قاره‌ای با ضخامت متوسط تا زیاد جایگیری کرده و از

آپاتیت: با وجود جزئی و عارضه‌ای بودن آپاتیت، توزیع این کانی به صورت سوزنی در سنگ‌های پلوتونیک منطقه قابل ملاحظه است. در خصوص بروز شکلهای سوزنی همانند بافت‌های اسکلتی و اسفلولیتی در سنگ‌های آذرین به نقش سرد شدن ناگهانی ماگما و به‌خصوص در اثر آمیختگی ماگمای مافیک با فلزیک تأکید شده است (Didier et al., 1982). این کانی به صورت میانبار در کانیهای پلاژیوکلاز دیده می‌شوند.

اسفن و زیرکن: کانیهای مذکور به صورت میانبارهای نیمه شکل دار و شکل دار در کانیهای مافیک سنگ‌های پلوتونیک بویژه بیوتیها قابل مشاهده هستند.

کانیهای کدر: در سنگ‌های پلوتونیک اکسیدهای آهن بیشتر مگنتیت است. نقطه قابل توجه این که، در این سنگ‌ها مگنتیت به صورت اولیه و دانه درشت اغلب در کنار کانیهای بیوتیت رشد کرده‌اند که این می‌تواند دلیلی بر بالا بودن فوگاسیته اکسیژن در ماگمای والد باشد (Sack, 1980). کانیهای ثانویه: کانیهای کلریت، اپیدوت، سریسیت، کلسیت، سیلیس، کانیهای رسی و اکسیدهای آهن عمله کانیهای ثانویه‌ای هستند که از تجزیه دوتیریک کانیهای اولیه سنگ‌های پلوتونیک تشکیل شده‌اند.

ویژگیهای ژئوشیمیایی و سنگ شناختی

با توجه به اهمیت شناخت سری ماگمای در رسم سرگذشت ماگمای به وجود آورنده سنگ‌های پلوتونیک و نیز مقایسه ویژگیهای ژئوشیمیایی، کانی شناسی و زمین‌ساختی، سری ماگمایی تعیین گردید. برای این کار، نخست از نمودار SiO_2 در برابر $(\text{Na}_2\text{O} + \text{K}_2\text{O})$ (Irvine & Baragar, 1971) استفاده شد (شکل ۸). بر این اساس، نمونه‌های پلوتونیک به طور عمده در محلوده سریهای نیمه‌قلایی واقع شده‌اند. برای تعیین سری ماگمایی در یک مجموعه نیمه‌قلایی از نمودار SiO_2 در برابر $\text{MgO}/(\text{MgO} + \text{FeO})$ (Miyashiro, 1970) استفاده شد، که بر پایه این نمودار، سنگ‌های منطقه در سری کلسیمی - قلایی قرار می‌گیرند (شکل ۹). برای تعیین خاستگاه ماگماها و مشخص شدن نقش پوسته قاره‌ای در تکوین مذابها و سنگها (بویژه در سری کلسیمی - قلایی) از میزان فراوانی و توزیع عناصری مانند پاتاسیم در آنها استفاده می‌شود، به طوری که هر چه این مقدار بیشتر باشد، می‌تواند به عنوان دلیلی در دخالت پوسته قاره‌ای و متاسوماتیسم گوشه‌ای در بوجود آمدن سنگ‌های موردنظر مطرح شود. برای این منظور، از نمودار SiO_2 در برابر K_2O (Le Maitre et al., 1989) استفاده شد که نشان می‌دهد سنگ‌های پلوتونیک پاتاسیم متوسط تا بالا هستند (شکل ۱۰). آلومینیم هم از جمله

عربی با بلوک ایران مرکزی بوده است، محیط پس از برخورد می‌باشد. بنابراین، کشش‌های پس از برخورد در زمان پالئوزن، بویژه در ائوسن (فاز کششی پیرنه) احتمالاً موجب تولید مذاب‌های هیرید و ظهور آشفشانهای متعدد و پراکنده در زونهای البرز- آذربایجان گردیده است. لازم به ذکر است که گرانیت‌ویدهای پس از برخورد می‌توانند هم در اثر ذوب پوسته بالایی به‌خاطر آزاد شدن گرمای دنبال برخورد و هم در اثر ذوب گوشته بالایی به‌خاطر صعود آبیاتیک که با بالاگذگی پس از برخورد و فرسایش همراه است، تشکیل شوند (Pearce et al., 1984). Pearce (1996) در نمودار (Y+Nb) در برابر Rb (شکل ۱۳) محدوده گرانیت‌ویدهای پس از برخورد را در محل تقاطع سه محیط کمان آشفشانی، درون صفحه‌ای و همزمان با برخورد مشخص کرده است (محدوده بیضی شکل)، که نشان می‌دهد تا چه اندازه گرانیت‌ویدهای پس از برخورد می‌توانند از لحاظ ترکیب شیمیایی متغیر باشند. گرانیت‌ویدهای منطقه مورد مطالعه در محدوده مذکور قرار می‌گیرند.

نتیجه‌گیری

از بررسی سنگ‌شناسی و ژئوشیمیایی سنگ‌های گرانیت‌ویدی خاور هریس نتایج زیر به دست آمده است:

- ۱- سنگ‌های پلوتونیک منطقه مورد مطالعه با ترکیب دبوریت، کوارتز دیسوریت، کوارتز‌موزودیسوریت و گرانودیبوریت در سنگ‌های آشفشانی نفوذ کرده و سیالهای ماقمایی و گرمایی از آنها موجب دگرانسانی گرمایی خود توده و سنگ‌های آشفشانی در برگیرنده شده است.
- ۲- وجود بافت‌های ناتعادلی مانند بافت اسکلتی در هورنبلندها، آپاتیتهاي سوزنی و منطقه‌بندی غیرعادی در پلاژیوکلازاها می‌تواند معلوم آمیختگی مذاب‌های مافیک گوشته‌ای و فاسیک حاصل از ذوب بخشی مواد پوسته‌ای باشند.
- ۳- حضور کانیهای آبدار مانند بیوتیت و هورنبلند، دو نوع فلدسپار مجزا (feldspar قلایی و پلاژیوکلاز) در کنار یکدیگر، عدم وجود بافت‌های پرتیت و آتنی‌پرتیت و گستردگی زونهای گرمایی در پیرامون سنگ‌های گرانیت‌ویدی، ویژگی ساب‌سولوس آنها را نشان می‌دهد.
- ۴- همراهی کانیهای مگنیتیت و بیوتیت در بسیاری از مقاطع سنگ‌ها نشان‌گر بالا بودن میزان فوگاسیته اکسیژن در ماقمای والد این سنگ‌هاست.
- ۵- سری ماقمایی سنگ‌های پلوتونیک کلسیمی - قلایی با پتسیم متوسط تا بالا بوده و از نظر شاخص اشباع از آلومینیم جز و سنگ‌های متا‌آلومینوس

فرایندهای ذوب بخشی و آلایش پوسته‌ای متأثر شده‌اند که Harris (1983) از آن با عنوان تسلط پوسته‌ای یاد کرده است.

موقعیت زمین‌ساختی

برای تعیین جایگاه زمین‌ساختی سنگ‌های منطقه از نمودارهای که توسعه (Pearce et al. 1984) و Muller & Groves (1997) ارائه شده، استفاده گردید. الگوی عناصر ناسازگار و کمیاب در نمودارهای عنکبوتی و انتقال آن با الگوی بدست آمده برای سنگ‌های گرانیت‌ویدی که دارای موقعیتهاي زمین‌ساختی مشخصی هستند نشان می‌دهد که گرانیت‌ویدهای خاور هریس شباهت ژئوشیمیایی خوبی با گرانیت‌ویدهای کمان آشفشانی (بویژه کمان جاماکیا)، گرانیت‌ویدهای همزمان با برخورد و گرانیت‌ویدهای پس از برخورد دارد (شکل ۱۲). در نمودار (Y+Nb) در برابر Rb (شکل ۱۳) که توسعه Pearce et al. (1984) ارائه شده، سنگ‌های پلوتونیک منطقه در محدوده گرانیت‌ویدهای کمان آشفشانی (VAG) قرار می‌گیرند (شکل ۱۳). رسم نمونه‌های مورد بررسی در نمودارهای گام به گام Maniar & Piccoli (1989) نشان می‌دهد که گرانیت‌ویدهای منطقه مورد مطالعه جزو گرانیت‌ویدهای جزایر کمانی (IAG)، کمان قاره‌ای (CAG) یا برخورد قاره‌ای (CCG) هستند (شکل ۱۱). رسم نمونه‌ها در نمودارهای Muller & Groves (1997) که برای تفکیک محیط زمین‌ساختی سنگ‌های پتسیک مناسب هستند، نشان می‌دهد که سنگ‌های نفوذی منطقه مورد مطالعه جزو سنگ‌های مرتبط با کمان آشفشانی بوده و به طور مشخص از محیط زمین‌ساختی درون صفحه‌ای مجزا می‌شوند (شکل ۱۴). این محققان معتقدند دو نوع کمان آشفشانی وجود دارد، کمانهای فروزانش (مانند حاشیه فعال قاره‌ای) و کمانهای پس از برخورد چنان که از نمودار شکل ۱۴ بپیدا است، سنگ‌های مورد بررسی بیشتر در محدوده کمانهای قاره‌ای قرار می‌گیرند. Dercourt et al. (1986) معتقدند که عمل فروزانش پوسته اقیانوسی نوتیس در ایران تا ۳۵ میلیون سال پیش ادامه داشته است. این محققان با نظریه مصرف شدن کامل پوسته اقیانوسی نوتیس در کرتاسه پسین - پالئوسن موافق نیستند و بر این باورند که عمل فروزانش تا اویلگوسن پیشین و یا تا میوسن پیشین ادامه داشته است. اگر این نظریه را پذیریم، محیط زمین‌ساختی گرانیت‌وید خاور هریس را باید کمان قاره‌ای در نظر گرفت.

جایگاه زمین‌ساختی سنگ‌های گرانیت‌ویدی خاور هریس، با فرض خاتمه فروزانش اقیانوس نوتیس در کرتاسه پسین، که نتیجه آن برخورد صفحه

است که بیانگر موقعیت زمین‌ساخت برخوردی و پس از برخورد و همچنین نشانگر نفوذ توده در یک پوسته ضخیم شده و نقش آلایش پوسته‌ای در آن می‌باشد.

۱۱- با توجه به شواهد صحرایی، سنگ نگاری و ژئوشیمیایی موجود محیط زمین‌ساختی گرانیتویید خاور هریس کمان قاره‌ای یا کمان پس از برخورد است. با وجود اینکه شواهد ژئوشیمیایی موجود در مورد تعلق داشتن این سنگها به کمان قاره‌ای بیشتر از کمان پس از برخورد است ولی نمی‌توان با قاطعیت یکی از دو محیط زمین‌ساختی را برای اینها در نظر گرفت.

تشکر و قدردانی

نویسنده‌گان مقاله از مرکز تحصیلات تکمیلی دانشگاه تبریز و شرکت مس ایران بخاطر حمایت‌های مالی شان، تشکر و قدردانی می‌نمایند.

محسوب می‌شوند.

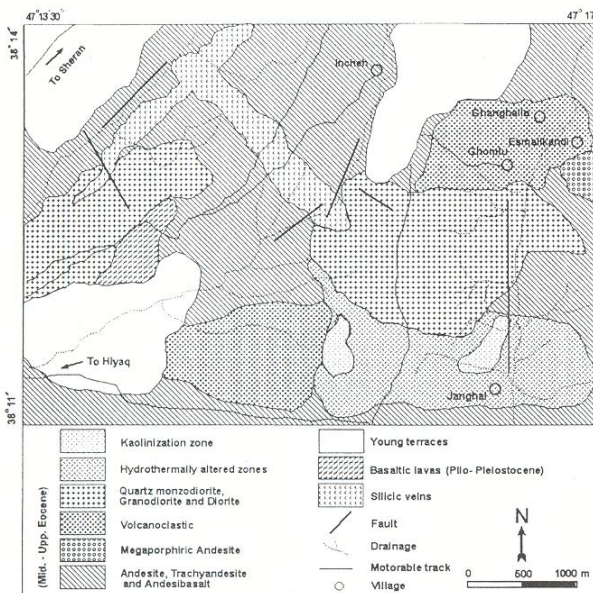
۶- تیپ گرانیتوییدی سنگ‌های پلوتونیک از نوع I و کلسیمی - قلیابی با پتانسیم بالا است.

۷- بر اساس نمودارهای گام به گام (Maniar & Piccoli 1989) محیط زمین‌ساختی گرانیتویید خاور هریس، کمان قاره‌ای، برخورد قاره‌ای یا جزایر کمانی است.

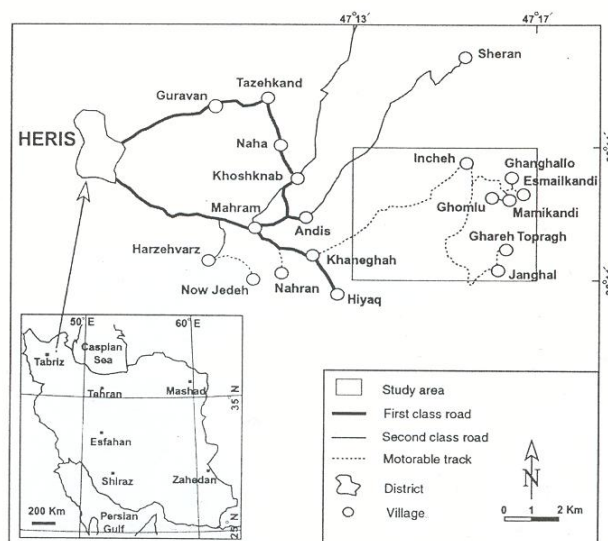
۸- نمودار Rb (Y+Nb) در برابر Ce/P₂O₅ در برابر Zr/TiO₂ موقعیت زمین‌ساختی کمان آتشفشاری و پس از برخورد را برای این سنگها نشان می‌دهد.

۹- نمودارهای Zr در برابر Ce/P₂O₅ در برابر Ba در برابر K نشان می‌دهد که سنگ‌های پلوتونیک خاور هریس در ارتباط با کمان و کمانهای قاره‌ای است.

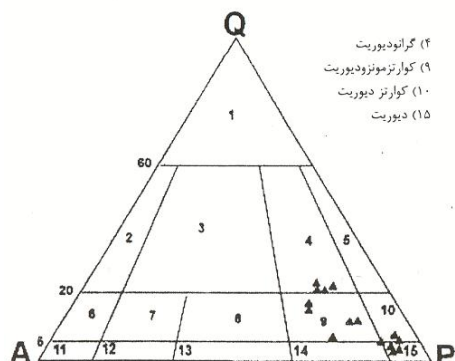
۱۰- الگوی عناصر کمیاب برای سنگ‌های مزبور در نمودارهای عنکبوتی نشان دهنده تهی شدگی نسبی آنها در عناصری مانند Y, Nb, Zr, Ce غنی شدگی آنها در عناصری چون K, Rb, Ba و Th نسبت به ORG



شکل ۲- نقشه زمین‌شناسی منطقه مورد مطالعه که با استفاده از عکس‌های هوایی ۱:۲۰۰۰۰ تهیه گردیده است.

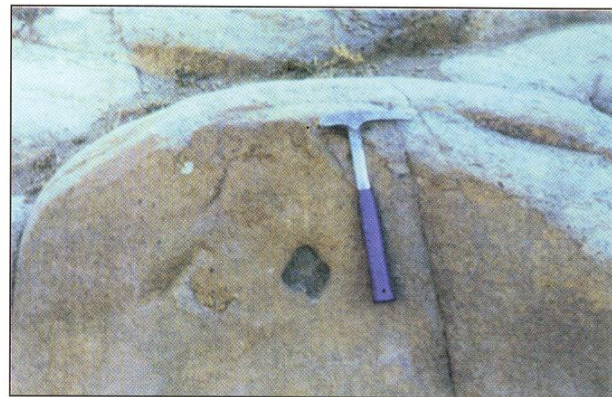


شکل ۱- موقعیت منطقه مورد مطالعه و راههای ارتباطی آن

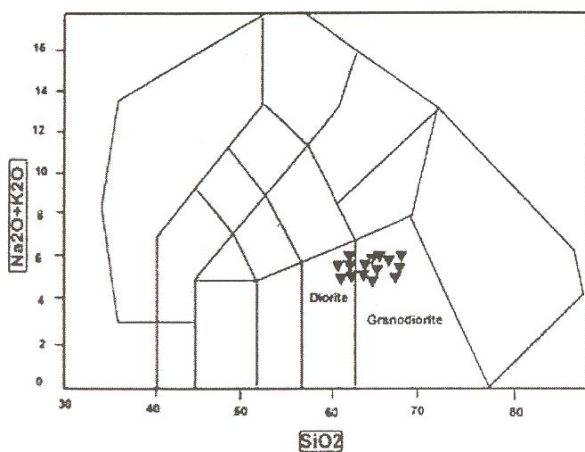


شکل ۴- رده‌بندی سنگ‌های گرانیتوییدی منطقه مورد مطالعه

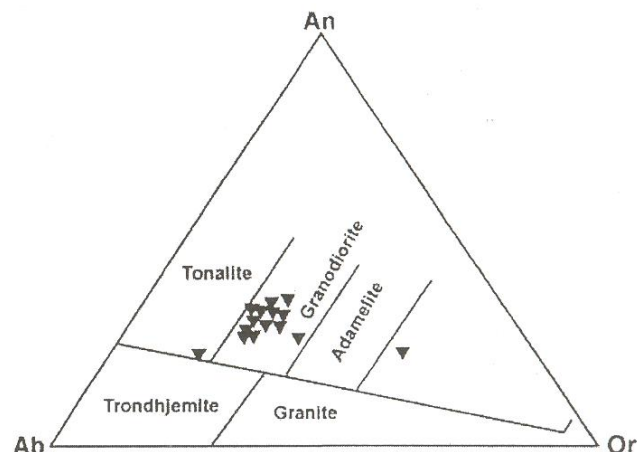
بر اساس ترکیب مودال (Streckeisen, 1976) (ترکیب مودال سنگ‌های مورد بررسی در جدول ۱ آورده شده است).



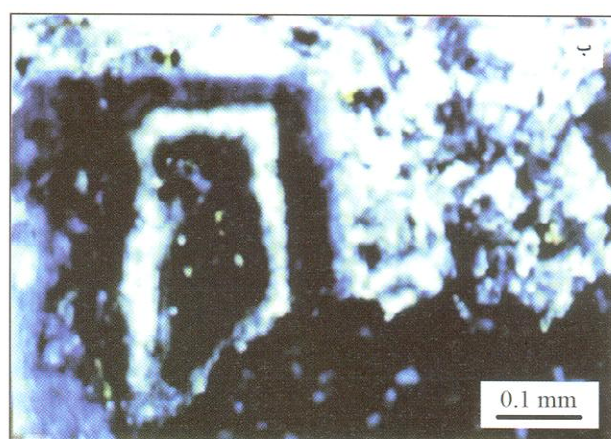
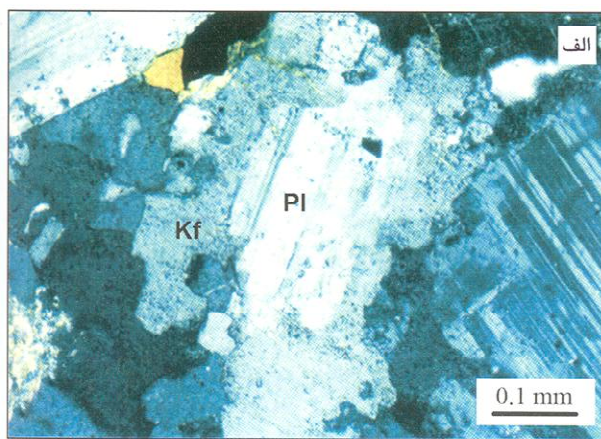
شکل ۳- تصویری از آنکلاوهای دانه‌ریز مافیک در سنگ‌های پلوتونیک منطقه مورد مطالعه



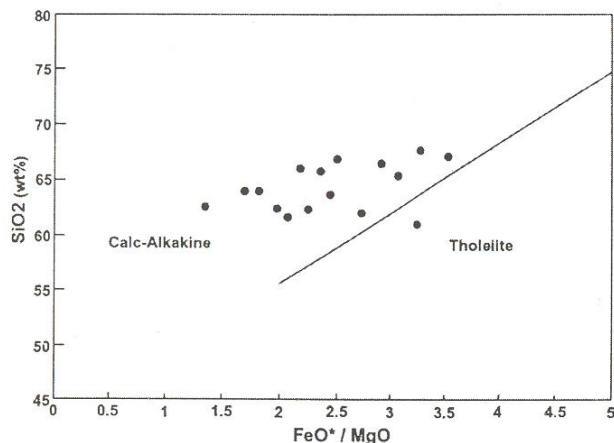
شکل ۶- نامگذاری سنگ‌های گرانیتوییدی منطقه مورد مطالعه
بر اساس نمودار TAS (Middlemost, 1994) (Middlemost, 1994)



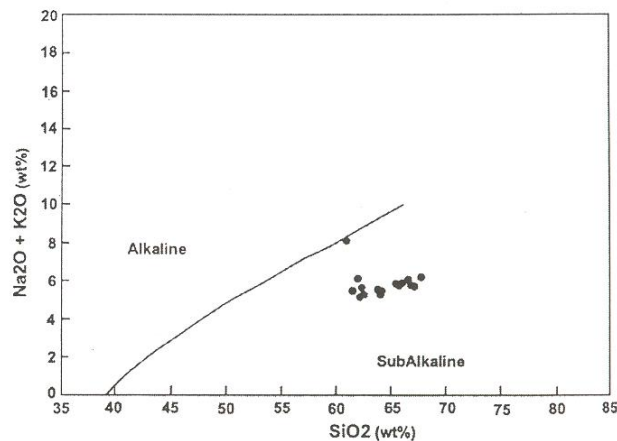
شکل ۵- موقعیت سنگ‌های گرانیتوییدی منطقه مورد مطالعه
در نمودار O'connor (1965)



شکل ۷- (الف) بافت آنتی راپاکیوی و (ب) زون بندی نوسانی در گرانیتوییدهای مورد بررسی، (XPL).



شکل ۹- نمودار تفکیک کننده سری ماگماهی توئیتی از کلسیمی - قلایی (Miyashiro, 1974).



شکل ۸- نمودار تفکیک کننده سری ماگماهی قلایی از نیمه قلایی (Irvine & Baragar, 1971).

جدول ۱- نتایج تجزیه‌های شیمیایی سنگ‌های گرانیتوییدی منطقه مطالعه به روش XRF

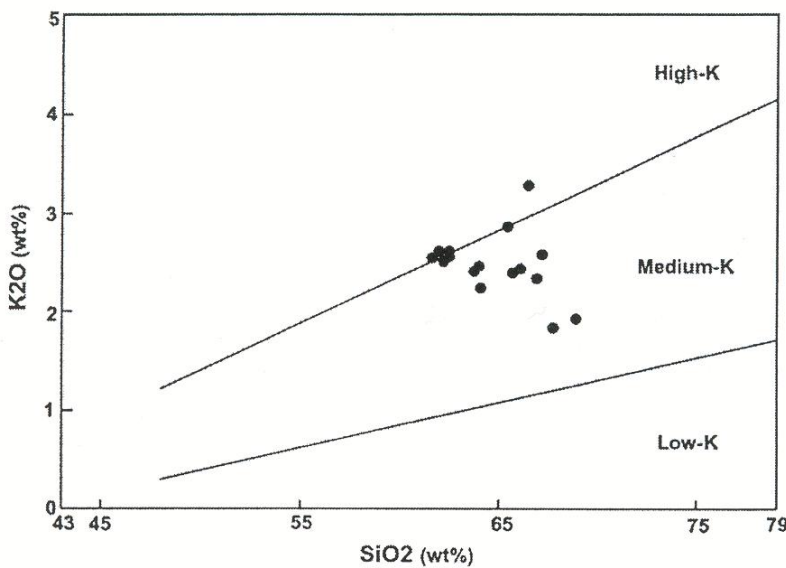
به همراه درصد کانیهای نورماتیو و ترکیب مواد آنها

Major Oxides (wt%)	HK1	HK2	HK3	HK4	HK5	HK6	HK7	HK8	HK9	HK10	HK11	HK12	HK13	HK14	HK15	HK16
SiO ₂	62.35	67.11	67.66	61.57	63.74	63.99	64.01	66.42	66.85	65.72	62.50	65.98	60.92	61.98	65.39	62.17
TiO ₂	0.46	0.47	0.36	0.46	0.49	0.44	0.54	0.42	0.39	0.43	0.47	0.38	0.65	0.50	0.56	0.63
Al ₂ O ₃	15.03	14.56	14.24	14.69	14.91	15.19	14.62	13.71	14.70	15.20	14.11	14.43	15.42	15.23	14.53	13.89
Fe ₂ O ₃	2.52	1.73	1.4	2.37	2.19	2.04	2.33	1.72	1.70	1.89	1.56	1.77	2.79	2.19	2.15	2.64
FeO	2.96	1.80	1.46	2.79	2.47	2.30	2.73	1.79	1.85	2.05	1.83	1.92	2.48	2.38	2.33	3.10
MnO	0.11	0.09	0.08	0.11	0.09	0.10	0.10	0.08	0.08	0.09	0.12	0.08	0.17	0.12	0.09	0.14
MgO	2.63	0.95	0.83	2.38	1.82	2.29	2.85	1.15	1.35	1.59	2.39	1.61	1.54	1.59	1.39	2.44
CaO	5.20	5.74	3.74	5.28	5.75	5.13	4.95	4.51	4.87	5.44	6.29	4.72	6.05	5.75	5.37	6.51
Na ₂ O	3.12	3.19	4.41	2.94	3.13	3.22	2.92	2.82	3.44	3.46	2.75	3.49	1.88	3.59	2.99	2.71
K ₂ O	2.57	2.58	1.84	2.56	2.42	2.46	2.46	2.34	2.40	2.40	2.40	2.40	2.53	2.51	2.86	2.52
P ₂ O ₅	0.25	0.18	0.14	0.25	0.24	0.23	0.22	0.19	0.19	0.22	0.24	0.18	0.26	0.29	0.23	0.23
Total	97.20	98.39	96.13	95.38	97.25	97.17	97.73	96.09	97.76	98.44	94.87	96.99	98.40	96.22	97.89	96.98
Mg#	47.27	33.53	35.23	46.18	42.21	49.67	51.27	38.04	41.58	43.03	56.84	44.96	35.48	39.44	36.74	44.26

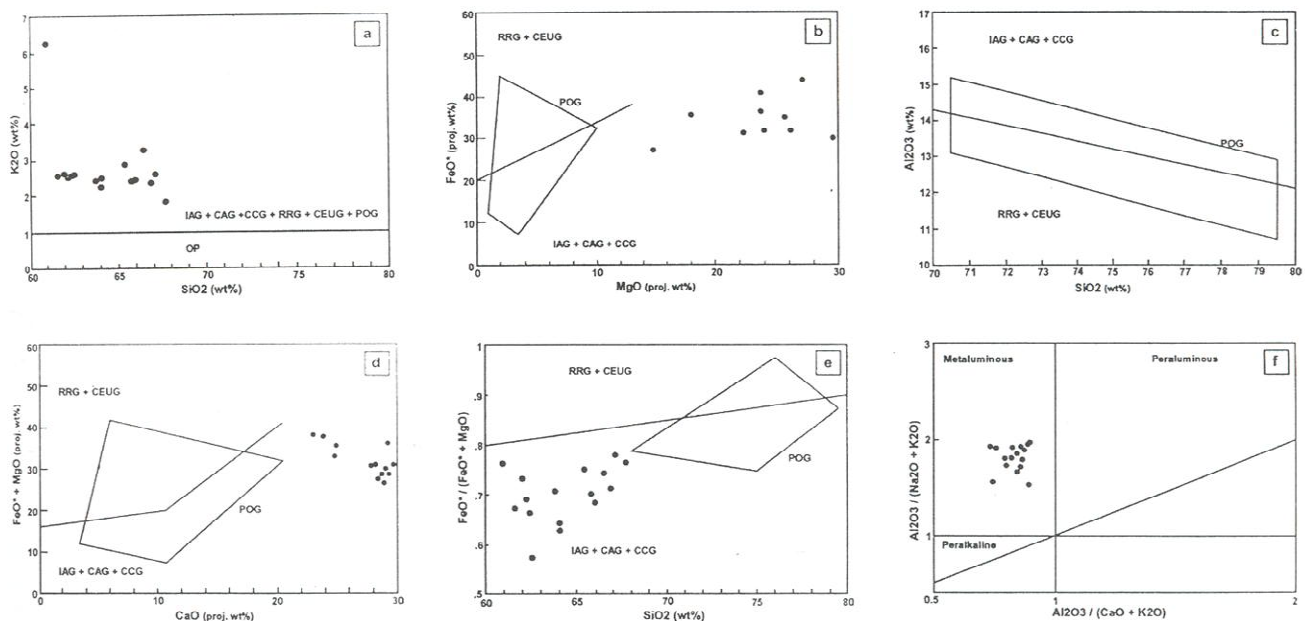
CIPW Norm	Q	Al	FeO*	MgO	CaO	Na ₂ O	K ₂ O	SiO ₂	TiO ₂	Al ₂ O ₃	Fe ₂ O ₃	MnO	Cr ₂ O ₃	Sc ₂ O ₃	Y	Yb
Q	19.64	26.83	26.39	20.35	22.46	22.68	22.96	27.25	26.30	23.81	21.77	24.76	13.53	18.15	24.80	21.18
Z	0.02	0.03	0.03	0.02	0.02	0.03	0.03	0.02	0.02	0.02	0.02	0.03	0.02	0.02	0.03	0.03
Or	15.22	15.28	10.89	15.16	14.33	13.26	14.57	19.37	13.86	14.21	15.46	14.39	37.02	15.45	16.94	14.92
Ab	26.4	26.99	37.31	24.87	26.48	27.24	24.71	23.86	29.11	28.85	23.27	29.53	15.91	30.37	25.30	22.93
An	19.48	17.85	13.70	19.39	19.55	20.46	19.58	15.14	17.83	19.14	18.50	16.59	15.21	17.79	17.83	18.33
Di	4.20	7.50	3.63	4.61	6.41	3.22	3.21	5.19	4.54	9.26	4.96	11.08	7.59	6.31	10.42	-
Wo	-	0.33	-	-	-	-	-	-	-	-	-	-	-	-	-	-
Hy	-	-	1.37	6.30	3.55	6.17	7.96	1.70	2.67	2.95	3.08	3.24	0.03	2.26	2.17	3.79
Mt	-	6.85	2.51	2.03	3.44	3.17	2.96	3.38	2.49	2.46	2.74	2.26	4.04	3.17	3.12	3.83
Il	0.87	0.89	0.68	0.87	0.92	0.83	1.03	0.89	0.75	0.81	0.89	0.71	1.23	0.95	1.07	1.21
Ap	0.69	0.42	0.34	0.59	0.58	0.56	0.51	0.47	0.46	0.52	0.58	0.44	0.61	0.69	0.54	0.54
Total	97.43	98.63	96.36	95.61	97.47	97.40	97.93	96.30	97.99	98.66	95.08	97.21	98.69	96.45	98.10	97.18

Minor Elements (ppm)	Li	Be	B	C	Ni	Co	V	Cr	Pb	Zn	W	Mo	Rb	Ba	Sr	Y	Th
I	1	1	3	1	1	1	2	1	4	1	<1	<1	1	1	2	4	1
Ni	5	4	5	2	1	5	5	2	4	6	12	9	5	9	5	9	5
Co	11	7	10	10	10	8	12	8	11	11	12	7	10	13	7	15	7
V	85	65	50	78	83	77	82	62	67	68	72	68	99	97	79	95	95
Cu	64	50	61	60	76	53	29	62	96	58	59	104	59	82	51	32	16
Pb	15	17	9	15	19	24	14	25	24	29	12	19	18	25	15	16	16
Zn	73	84	65	79	70	75	79	60	59	66	77	70	59	79	70	73	73
W	<1	<1	<1	<1	<1	<1	<1	<1	<1	<1	<1	<1	<1	<1	<1	<1	<1
Mo	<1	<1	<1	<1	<1	<1	<1	<1	<1	<1	<1	<1	<1	<1	<1	<1	<1
Rb	77	81	48	74	66	63	73	109	69	70	78	73	202	60	90	78	78
Ba	811	927	703	840	842	856	710	846	802	809	803	778	1294	774	790	737	737
Sr	805	791	936	774	797	864	627	634	843	824	715	831	754	815	619	598	598
Na	2	2	2	2	2	2	2	2	2	2	2	2	2	2	2	2	2
Zr	122	148	127	106	120	107	142	149	121	112	102	127	97	123	149	127	127
Y	16	16	12	16	16	15	17	18	14	15	15	15	25	16	19	18	18
Th	2	4	2	2	3	2	2	11	1	3	4	2	1	5	5	5	5
U	1	'1	1	1	3	1	1	1	1	1	1	1	1	1	1	2	2
Ce	10	29	33	45	19	12	10	30	23	32	27	22	14	29	12	33	33

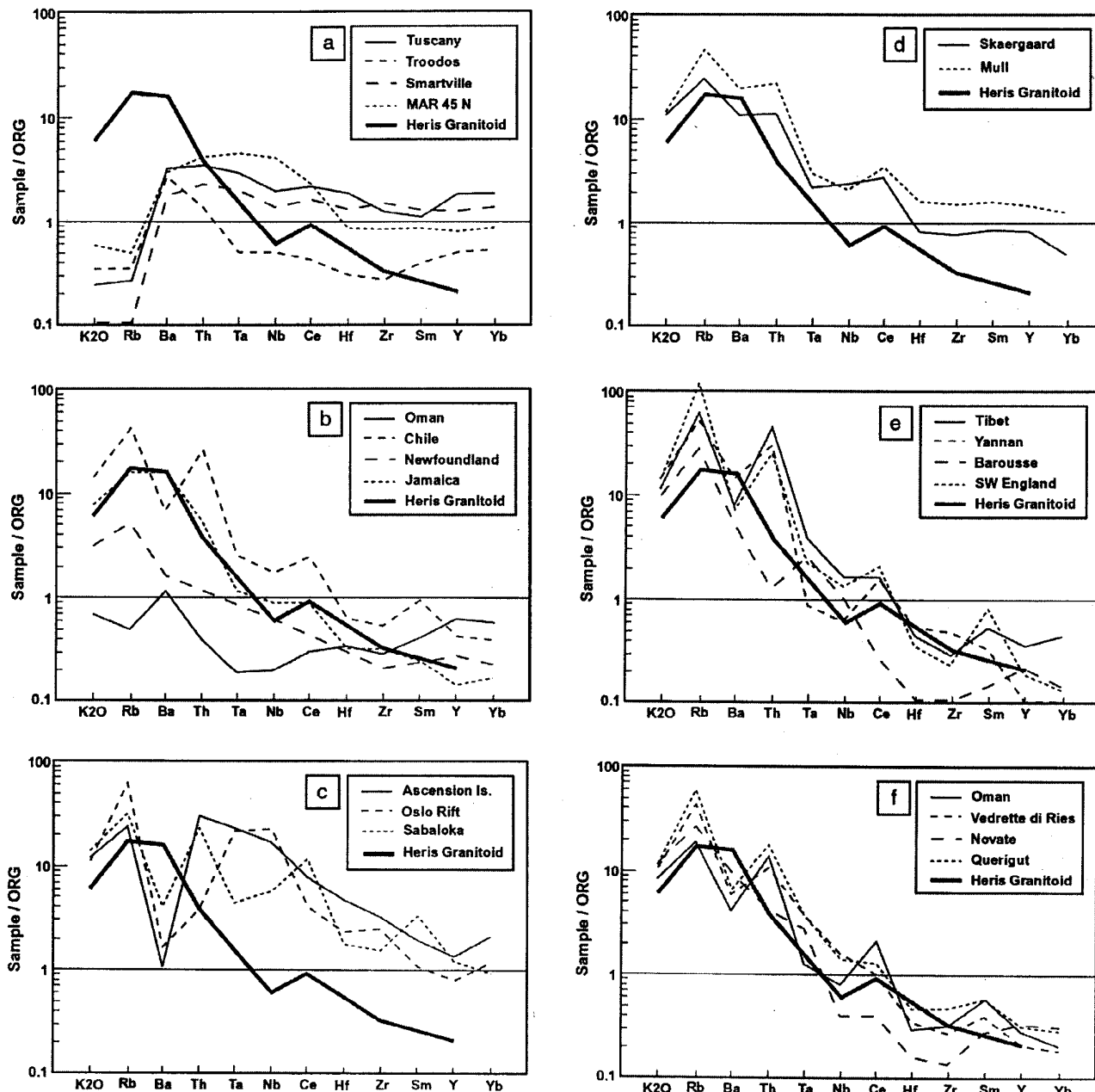
Modal Composition (%)	Quartz	Plagioclase	Alkali-feldspar	Clinopyroxene	Amphibole	Biotite	Opaque	Seco. and Access. minerals	Total
4	21	22	3	7	10	19	19	11	100
52	58	54	78	75	61	67	55	57	64
9	11	14	4	3	19	10	16	14	12
3	4	3	4	4	4	4	4	5	3
4	-	4	2	1	1	-	-	4	3
1	-	-	3	2	1	1	1	1	100
5	5	5	3	3	3	4	3	4	100
3	2	2	3	3	3	2	2	3	100
4	4	5	5	3	3	4	3	4	100
Total	100	100	100	100	100	100	100	100	100



شکل ۱۰- نمودار (1989) Le Maitre et al., برای تعیین میزان پتاسیم در گرانیتویید خاور هریس.



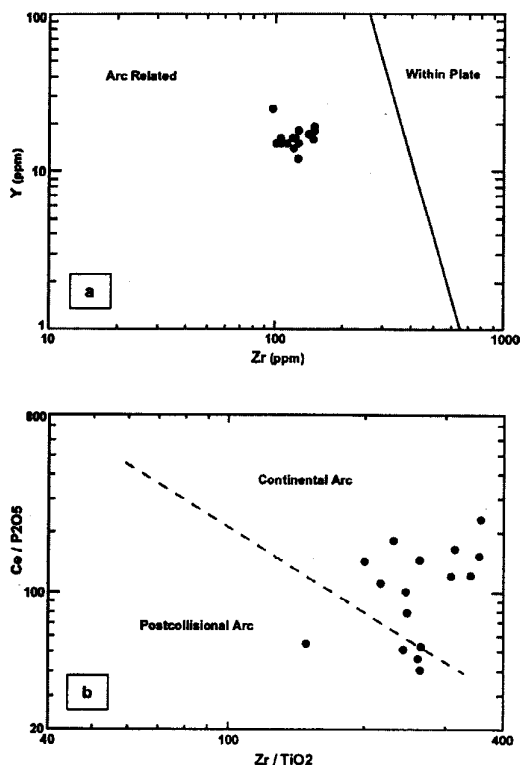
شکل ۱۱- موقعیت سنگ‌های گرانیتوییدی منطقه مورد مطالعه در نمودارهای گام به گام (Maniar & Piccoli 1989)، که بر اساس اکسیدهای عناصر اصلی استوار است. گرانیتوییدهای کوهزایی شامل: IAG (گرانیتویید جزایر کمانی)؛ CAG (گرانیتویید کمان قاره‌ای)؛ CCG (گرانیتویید برخورد قاره‌ای)؛ POG (گرانیتویید پس کوهزایی)؛ و گرانیتوییدهای ناکوهزایی شامل: RRG (گرانیتویید مرتبط با کافت)؛ CEUG (گرانیتویید بالاً‌آمدگی خشکی‌زایی قاره‌ای)؛ OP (پلازیو گرانیت اقیانوسی).



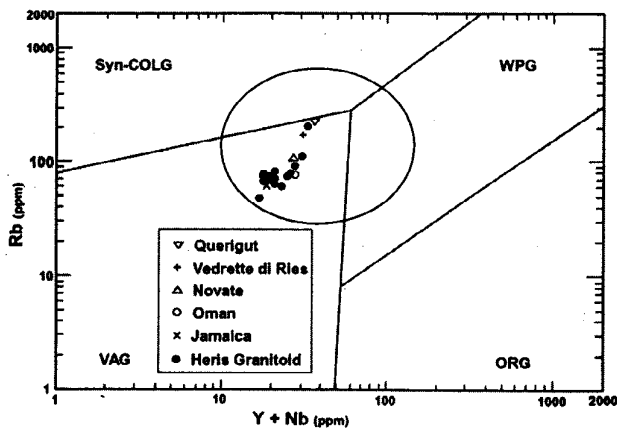
شکل ۱۲- الگوهای ژئوشیمیایی بهنجارسازی شده به ORG برای برخی گرانیت‌ویدهای شاخص دنیا و مقایسه آنها با گرانیتویید خاور هریس.

(a) گرانیتهای پشتۀ اقینوسی؛ (b) گرانیتهای کمان آتش‌شانی؛ (c) گرانیتهای درون صفحه‌ای؛ (d) گرانیتهای درون صفحه‌ای (سنگ کره

قاره‌ای تحلیل رفته)؛ (e) گرانیتهای همزمان با برخورد؛ (f) گرانیتهای پس از برخورد (Pearce et al., 1984).



شکل ۱۴- محیط زمین ساخته‌ی سنگهای گرانیت‌ویدی خاور هریس بر اساس نمودار Zr در برابر Y و (b) نمودار Zr/TiO₂ در مقابل (. Muller & Groves, 1997). Ce/P₂O₅



شکل ۱۳- نمودار (Nb+Y) در برابر Rb که در آن موقعیت برخی گرانیتوییدهای پس از برخورد شاخص دنیا، گرانیتویید کمان آتشفسانی جاماییکا و گرانیتویید منطقه مورد مطالعه نشان داده شده است. محدوده ییضی شکل موقعیت گرانیتوییدهای پس از برخورد را نشان می دهد. گرانیت همزمان با برخورد (COLG-Syn)، گرانیت کمان آتشفسانی (VAG)، گرانیت درون صفحه‌ای (WPG)، گرانیت پشتے اقیانوسی (ORG) (Pearce et al., 1984)

کتابنگاری

۱۳۵۹- تفکیک بخشهای مختلف ایران از نظر وضع ساختمنی در ارتباط با حوزه‌های روسی. نشریه انجمن نفت، شماره ۸۲ صفحه ۲۸-۱۹.

۱۳۷۹- بررسی پترولوزی و زمین‌شناسی سنگهای آذربین منطقه شیشه (توده نفوذی دوه سراغ - شمال شرق اهر). رساله کارشناسی ارشد، گرایش پترولوزی، دانشگاه طبیعی، دانشگاه تبریز.

۱۳۸۱- مطالعه پترولوزیکی سنگهای آذربین منطقه مهمان (جنوب شرق قره‌چمن). رساله کارشناسی ارشد، گرایش پترولوزی، دانشگاه طبیعی، دانشگاه تبریز.

۱۳۸۹- بررسی پترولوزی و پتروگرافی سنگهای آذربین نفوذی اطراف روستای خان باز (شمال غرب مشکین شهر). رساله کارشناسی ارشد، گرایش پترولوزی، دانشگاه طبیعی، دانشگاه تبریز.

۱۳۹۰- عیوض خانی، م. ر.، ۱۳۷۶- بررسی پتروگرافی و پتروژئوپیونه نفوذی ونه آباد (شمال شرق اهر)، رساله کارشناسی ارشد، گرایش پترولوزی، دانشگاه طبیعی، دانشگاه تبریز.

۱۳۷۶- مطالعه زمین‌شناسی و پتروشیمیابی سنگهای پلوتونیک و ولکانیک توده‌های جنوب غرب مشکین شهر در ارتباط با ژنر مس و مولیدن. رساله کارشناسی ارشد، گرایش پترولوزی، دانشگاه طبیعی، دانشگاه تبریز.

۱۳۵۵- دیباچه‌ای بر زمین‌شناسی ایران. سازمان زمین‌شناسی کشور. ۱۰۹ صفحه.

References

- Barbarin, B., 1999- A review of the relationships between granitoid types, their origins and their geodynamic environments. *Lithos*, 46: 605-626.
- Chappel, B. W. and White, A.J.R., 1974 - Two contrasting granite types, *Pacific Geology*, 8: 173-174.
- Didier, J., Duthou, J.L., and Lameyre, J., 1982 - Mantle and crustal granites: genetic classification of orogenic granites and the nature of their enclaves. *J. Volcanol. Geotherm. Res.*, 14: 125-132.
- Dercourt, J., Zonenshain, L.P., Ricou, L.E., Kazmin, V.G., Le Pichon, X., Knipper, A.L., Grandjacquet, C., Sbortshikov, I.M., Geyssant, J., Lepvrier, C., Pechersky, D.H., Boulin, J., Sibuet, J.C., Savostin, L.A., Sorokhtin, O., Westphal, M., Bazhenov, M.L., Laufer, J.P., and BiJu Duval, B., 1986. Geological evolution of the Tethys belt from the Atlantic to the Pamirs Since the Lias. *Tectonophysics*, 123: 242-315.
- Dorais, M. J., Whitney, J. A. and Rodon, M. F., 1990- Origin of mafic enclaves in the Dinkey Creek Pluton, Central Sierra Nevada Batholith, California. *J. Pet.*, 31: 853-881.
- Harris, N. B. W., Duyverman, H. J., & Almond, D. C., 1983- The trace element and isotopic geochemistry of the Sabaioka igneous complex. *Sudan. J.geol. Soc. Lond.* 140: 245-256.
- Irvine, T.N. and Baragar, W.R.A., 1971- A guide to the chemical classification of the common volcanic rocks. *Canadian Jurnal of Earth Sciences* 8: 523-548.
- Le Maitre, R.W., 1989- A classification of Igneous rocks and Glassory of terms, Blackwell. Oxford. 193 p.
- Maniar, P.O., and Piccoli, P.M., 1989- Tectonic discrimination of granitoids. *Geol. Soc. Am. Bull.* 101: 635-643.
- Middlemost, E. A. K., 1994 - Naming materials in the magma and igneous rock system. *Earth. Sci. Rev.* 37: 215-224.
- Miyashiro, A., 1974 - Volcanic rock series in island arcs and active continental margins. *Am. J. Sci.* 274: 321-355.
- Muller, D., Groves, D. I., 1997- Potassic igneous rocks and associated gold– copper mineralization, Sec. Updated. Springer Vrelag. 242pp.
- O'connor, J.T., 1965 - A classification for quartz-rich igneous rock based on feldspar ratios. *U. S. Geol. Surv. Prof. Paper* 525B, B79-B84.
- Pearce, J.A., Hariss, N.B.W. and Tindle, A.G., 1984 - Trace element discrimination diagrams for the tectonic interpretation of granitic rocks. *Journal of Petrology*. 25: 956-983.
- Pearce, J., 1996- Sources and settings of granitic rocks. *Episodes*, vol. 19, No. 4.
- Philpotts, A. R., 1991- Principles of igneous and metamorphic petrology. Prentice Hall, Englewood cliffs. New Jersey. 498pp.
- Pitcher, W.S., 1982- Granite types and tectonic environment: Ch. 1-3, pp. 19-40 in Hsu, K.J. (ed.), Mountain Building Processes, Academic Press. London.
- Sack, R.O., Carnichael, I.S.E., Rivers, M. & Chiorso, M.S., 1980- Ferric-Ferrous equilibria in natural silicates liquids at 1bar, C.M.T.75: 369-76.
- Shelley, D., 1993- Igneous and metamorphic rocks under the microscope. Chapman & Hall.
- Stampfli, G.M., 1978- Etude gelogique general l'Iboarz oriental au sude Gonbad-e-Qabus. Iran. These Geneve, 329 p.
- Stocklin, J., 1977- Structural corrolation of Alpain ranges between Iran and central Asia. *Memorie horse seris*, No 8dela Soc. Geol. De France, 8: 333-353.
- Streckeisen, A. and Le Maitre, R.W., 1979- A chemical approximation to the modal & APF classification of the igneous rocks. *Neues Jb. Mineral. Abh.* 136: 169-206.
- Sutcliffe, R.H., Smith, A.R., and Doherty, W. 1990- Mantle derivation of Archean amphibole- bearing granitoid and associated mafic rocks: evidence from the Southern Superior Province, Canada. *Contrib. Min. Petr.* 105: 255-747.
- Vernon, R.H., 1990- Crystallization and hybridism in microgranitoid enclave magmas: Microstructural evidence. *J. Geophys. Res.* 95: 17849-17859.
- Whalen, J. B., Currie, K. L., and Chappell, B. W., 1987- A-type granites: geochemical characteristics, discrimination and petrogenesis. *Contrib. Min. Pet.*, 95: 407-419.

* گروه زمین‌شناسی دانشگاه تبریز

* Dept. Of Geology, Faculty of Natural Sciences, University of Tabriz, Iran